

الفصل الثامن

تأثير التشعيع على الخواص الضوئية للألياف

The Effect of Irradiation on the Optical Properties of Fibres

يتناول هذا الفصل تأثير التشعيع على الخواص الضوئية للألياف ، ويتضمن قسمين ،
القسم الأول (١/٨) تتناول فيه دراسة تأثير أشعة جاما وكذلك التشعيع بالنيوترونات على
الخواص الضوئية (الامتصاص الضوئي) للألياف البصرية ، بينما يقدم القسم الثاني
(٢/٨) تأثير أشعة جاما على معاملات الانكسار والانكسار المزدوج للألياف التركيبية
والنسيجية والبصرية .

١/٨ - تأثير التشعيع بأشعة جاما وبالنيوترونات على امتصاص الألياف البصرية للضوء

The effect of γ and neutron irradiation on the optical absorption of optical fibre waveguides:

عند تريض ألياف بصرية لإشعاع نوى nuclear radiation فإن امتصاص الألياف
للضوء يزيد وهذا الامتصاص المستحدث induced absorption يسبب فقدا
مستحدثا induced loss وزيادة في فقد أو اضمحلال الأشعة التي تنقلها هذه الألياف .
ويؤخذ في الاعتبار هذا الامتصاص المستحدث بالإشعاع عندما تستخدم نظم التراسل
الضوئي في جو مشع radiation environments ، وقد أجريت دراسات عديدة للتعرف
على سلوك الألياف اثناء وبعد التشعيع لشرح ميكانيكية فقد المستحدث بالإشعاع
– وبيان تأثير ألياف بصرية قليلة فقد وبتركيبات جديدة لقشرة ولب
الشعيرات أجريت دراسات على تأثير الإشعاع على الألياف من نوع Polymer-clad
silica (PCS) (Friebele et al. 1978b) وكذلك الألياف المصنوعة من السيليكا المشابة
والألياف البلاستيكية Plastic fibres (Friebele et al. 1978 a) وأمكن دراسة النمو
والأضمحلال الناتج من تأثير التشعيع بجرعات من ١ راد إلى ٦٠ راد .

وتعمل نظم التراسل الضوئي - وخاصة التي تستخدم لمسافات أقل من 2 كيلومتر - في منطقة الأشعة تحت الحمراء القريبة near infra-red عند الطول الموجي ٨٥٠ نانومتر ، حيث يستخدم ثانوي باعث الضوء (LED) Light emitting diode وليزد الحقن injection laser ، ويرست معظم خصائص الألياف قليلة فقد عند طول الموجة ٨٢٠ ميكرومتر . لقد قام "Friable" وتعاونه (١٩٧٩) بدراسات عن سلوك الألياف البصرية وخصائصها حول الطول الموجي ١٠٣ ميكرون . وقد أظهرت النتائج التي توصلوا إليها عند الطول الموجي ٨٢٠ ميكرون ، أن الإلتلاف الذي يحدث في الألياف PCS يصل إلى التشبع بزيادة الجرعة فيصل الفقد المستحدث عند التشبع بجرعات صغيرة إلى أكثر من مائتين ضعف القيمة المتوقعة المحسوبة على أساس جرعات التشبع الكبيرة عند استخدام أطوال قصيرة للألياف البصرية أو ألياف مصننة . كما لوحظ :

- ١- أن ألياف PCS التي تحتوى على قدر ضئيل من مجموعة الهيدروكسيل OH تكون أكثر قابلية للإلتلاف الناتج من التشبع باستخدام أطوال موجية عند ٨٢٠ ميكرون عن ألياف تحتوى على قدر كبير من OH .
- ٢- حدوث امتصاص انتقالى كبير في ألياف السليكا المشابهة لها بالجيبرمانيوم .
- ٣- أنه قد أظهرت القياسات الطيفية لطيف الامتصاص للألياف في المدى الطيفي من ٤٠ إلى ١٠٠ ميكرون أن الامتصاص المستحدث نتيجة الإشعاع يقل عندما ننتقل في اتجاه الأطوال الموجية الأطول .

وقد أصبح التعرف على خصائص الإلتلاف الناتج من التشبع للألياف التي معامل فقدها ضئيل حول $\lambda = 1,3$ ميكرون ، ضرورة أساسية لنظم التراسل الضوئي التي تستخدم أجهزة ليزر ينبعث عنها أشعة لها هذا الطول الموجي وذلك للانخفاض الملحوظ في التفرق الضوئي حول هذه القيمة للطول الموجي أي تغير معامل انكسار مادة الألياف البصرية مع الطول الموجي والتعرف على التفسير الفيزيائى لميكانيكية الإلتلاف الناتج عن التشبع المسنون عن الامتصاص المستحدث نأخذ نوعين من الإلتلاف :

أ- إتلاف للألياف بتعرضها لأشعة γ . تتفاعل أشعة γ أساسا مع الزجاج ، فيتم إكراه الألكترونات لترك مواقعها المألوفة وتحرك خلال شبكة الزجاج . ينتج عن ذلك أولا زيادة في معامل الامتصاص في منطقتي الأشعة فوق البنفسجية والمنظورة والأشعة تحت الحمراء القريبة . وفي عام (١٩٧٤) قام « سigel وايفانز Sigel & Evans » بدراسة الإتلاف المستحدث الناتج بالتشعيع بأشعة γ في الألياف وخلصا إلى أن الفقد المستحدث يعتمد أساسا على تركيب الشعيرة ويتغير بين 10^{-4} ديسينيل لكل كيلومتر لكل راد لألياف مصنوعة من ثاني أكسيد السيليكون SiO_2 bulk suprasil ، ديسينيل لكل كيلو متر لكل راد للألياف من زجاج Corning عند ٨٠٠٠ انجرستروم . يعني هذا أن مادة السليكا النقية المصهورة شديدة مقاومة للإشعاع في حين أن زجاج Corning رقم ٥٠١٠ له قابلية محسوسة للتغير بالأشعاع .

بـ إتلاف الألياف بتعريفها للنيترونات . تتفاصل النيترونات في الأوساط الصلبة أساساً مع النواه - انظر Shah 1975 - لهذا فما يحدث نتيجة التعريف للنيترونات ليس فقط زيادة في فقد الناتج عن الامتصاص إنما يحدث أيضاً تغيرات تركيبية ينتج عنها تغير في الكثافة وفي معامل الانكسار ، وقوة دوران rotary مستوى الاستقطاب للأشعة ، والانكسار المزدوج والمومضية الحرارية .

وفي عام (١٩٧٣) قام «مورير et al Maurer et al» ومعاونوه بتشعيع ألياف متعددة المنسوب مصنوعة من زجاج السليكا بحزمة من النيوترونات ١٤ مليون ألكترون فولت مستخدمين جرعات كبيرة تصل إلى 1.4×10^{12} نيوترون لكل سم^٢. وقد أفادت النتائج بأن فقد المستحث من التشعيع بالنيوترونات يتغير خطياً تقريباً مع الجرعة الكلية وأن قيمته تكون أقل من 1.0×10^{-11} ديسيليل لكل كيلو متر لكل نيوترون لكل سم^٢ في المدى من ٨٠٠٠ إلى ١٢٠٠٠ آنجلستروم.

والحصول على قياسات طيفية ثابتة Permanent وتعتبر كمرجع استخدم «Friebel et al» ومعاونه عام (١٩٧٩) أليافاً بصرية طولها من ٢٠-١٠ مترات تشعيمها بمصدر كويولت ٦٠ ينبعث منه 10^5 راد (سليكون) وقياس الامتصاص الضوئي في

المدى الطيفي من ٤٠٠ إلى ١٧٠ ميكرون قبل التشعيع وبعد انقضاء ساعة واحدة . كما تم تعریض شعيرة بصرية طولها متراً واحداً لمدة ٣ نانو ثانية ، ٢٧٠٠ راد لحرمة من ٥٠ مليون الكترون فولت الكترونات نسبية . وكانت الألياف التي استخدمها فرييل و معلونه من النوع متدرج معامل انكسار له ، كما حصلوا على نتائج مماثلة باستخدام ألياف بصرية ثابت معامل انكسار لها . وقد دلت نتائج تجاربهم على أنه بالإضافة إلى حدوث أشرطة امتصاص عريضة في منطقى الأشعة فوق البنفسجية وتحت الحمراء فقد سجلت زيادة في الشدة في شرائط الهيدروكسيل OH و شريط Combination عند ٩٥ ، ٢٢ ، ١٢٣ ، ١٣٠ ميكرون .

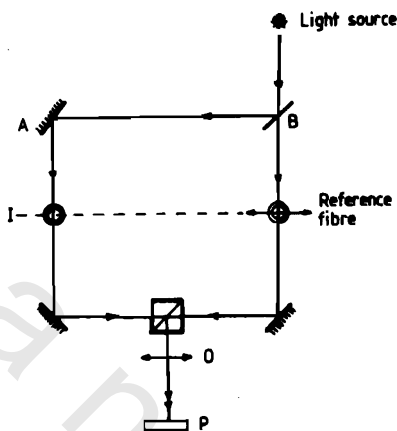
٢/٨ - تأثير التشعيع بأشعة جاما على قيمة معاملات الانكسار والانكسار المزدوج للألياف البصرية والألياف النسجية التركيبية

The effect of γ irradiation on the refractive indices and birefringence of optical and synthetic textile Fibres :

طبق « برتولوتي Bertolotti et al. » و معاونوه (١٩٧٩ ، ١٩٨٠ a) طريقة التداخل الضوئي الثنائي لدراسة التغيرات الصغيرة في معاملات الانكسار للألياف البصرية بعد تعرضها لأشعة جاما . واستنتجوا أنه تطرأ تغيرات محسوسة على كل من معاملات الانكسار وأبعاد الألياف البصرية حتى باستخدام جرعات منخفضة نسبياً من أشعة جاما (راد واحد مثلاً) . وزيادة على ذلك فإن هذه التأثيرات تختفي عند درجة الحرارة العالية خلال عدة أيام . وفيما يلى نشرح الطريقة التي استخدمها برتولوتي و مجموعته .

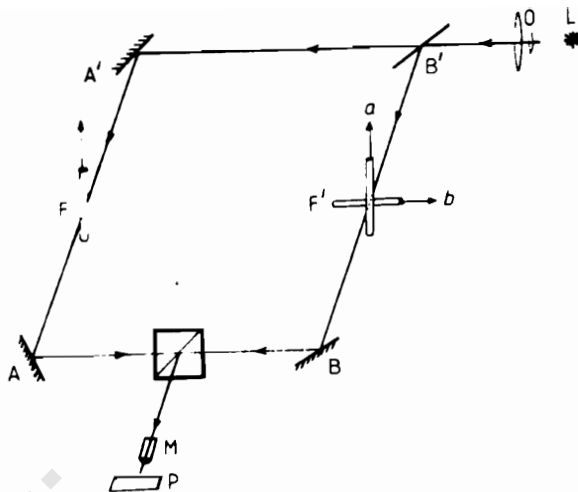
يبين الشكل رقم (١/٨) النظام البصري ليكروسكوب التداخل الضوئي الثنائي لامع وزندر Mach-Zehender interferometer الذي يسمح بتكون مدب التداخل الضوئي الناتج من الشعاع الذي يعبر الشعيرة الموضوعة في النراع A لقياس التداخل الضوئي وشعاع آخر مرجع يمر خلال النراع B الذي يحتوى على عينة من شعيرة عيارية . ومقاييس التداخل الضوئي الموضع في الشكل رقم (١/٨) هو أحادى المسار . وتضبط صورة واضحة لهدب التداخل الضوئي على الفيلم الحساس P باستخدام المكون البصري ٥ . لقد

استخدمت هذه الطريقة لتعيين التغيرات التي تطرأ على معاملات انكسار الألياف البصرية (STEP) للضوء ، وكذلك التغيرات في أبعاد هذه الألياف بعد تشعيعها بجرعة إشعاعية مقدارها كيلوراد واحد من أشعة جاما ناتجة من مصدر كوبالت ٦٠ Co 60 . وسجل برتولوتي ومجموعته تغيرات نسبية في أنصاف قطرات لب وقشرة الشعيرات تصل قيمتها ١٪، ٢٪، ٣٪، ٨٪ على الترتيب ، وتغيرات في معاملات انكسار لب وقشرة الشعيرات بمقدار ٢٪، ٢٦٪، ٨٪ على الترتيب .



شكل رقم (١/٨) : نظام تداخل ضوئي ثانوي مستخدم لدراسة التغيرات الضئيلة في معامل انكسار الألياف البصرية المشعمة بإشعاع γ (من b Bertolotti et al 1980)

كما قدم "Bertolotti et al" (١٩٨٠ a) "Subtraction interferometric method" بالطريق الضوئي ، وذلك لتعيين التغيرات الصغيرة التي تطرأ على معاملات انكسار في أبعاد الألياف البصرية ، ويوضح الشكل رقم (٢/٨) النظام البصري المستخدم في هذه الطريقة . فتووضع شعيرتان في ذراعي مقاييس ماخ وزنر Mac-Zehender interferometer على أن يكونا محورا هما متوازيين في الوضع (a) متعامدين في الوضع (b) .



شكل رقم (٢/٨) : رسم تخطيطي للنظام البصري لطريقة التداخل الضوئي بالطرح عند تطبيقها على الألياف البصرية . L مصدر ضوئي ، BB'، AA'، FF' مكونات مقياس التداخل الثنائي لماخ وزندر . M ميكروسكوب ، P لوح فوتوغرافي . توضع الشعيرتين في نراري المقياس على أن يكون محوراهما متوازيين في الوضع a ومتعمدين في الوضع (b)

إزاحة هدب التداخل الضوئي عند تطبيق طريقة التداخل الضوئي بالطرح على الألياف

Expressions for the fringes shift in subtraction interferometry of fibres :

سندرس حالة التداخل الضوئي بالطرح بين عينتين من نفس الشعيرة ، أحدهما تعمل كمجمع والأخرى مشعمة والمطلوب تعين تأثير التشعيع على كل من أبعاد ومعاملات انكسار الشعيرة . توضع العينتين في نراري مقياس التداخل الضوئي لماخ وزندر ، على أن يكون محوراهما متوازيين أو متعمديين ، كما في الشكل رقم (٢/٨) وفي كلتا الحالتين فإن فرق طول المسار الضوئي (OPL) بين المرأتين ' AA' والمرأتين ' BB' تمطيله المعادلة :

$$\Delta = \int_A^{A'} n dx - \int_B^{B'} n dx$$

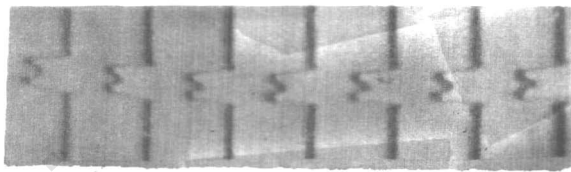
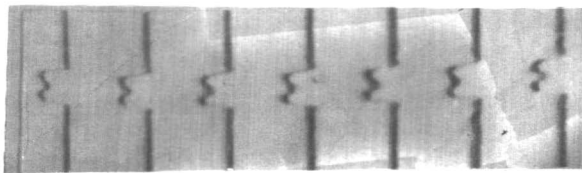
وياعتبار أن التغير في معاملات الانكسار يكن صغيرا وأن الشعيرة عبارة عن جسم يغير من طور الأشعة phase object فإن Δ تظهر كإزاحة في الهبة .

١٢/٨ - تأثير أشعة جاما على معاملات الانكسار والانكسار المزدوج لألياف النسيج التركيبية

Effect of γ irradiation on the refractive indices and birefringence of textile synthetic fibres :

طبق "Hamza et al" (١٩٨٦) هدب فيزو للداخل الضوئي لدراسة تأثير أشعة جاما على بعض الخواص الضوئية للألياف التركيبية . وأجريت عملية التشيع في الهواء . واستخدم "Hamza and Mabrouk" (١٩٨٨) هدب التداخل الضوئي المتعدد عند النفاذ وعند الانعكاس لتعيين معاملات الانكسار والانكسار المزدوج لألياف الدرالون Dralon المشععة بأشعة جاما . وأجرى التشيع عند ضغط منخفض (1.5×10^{-4} تور) ، حيث وضعت العينات في أنبوبة اختبار تغلق بعد إجراء عملية التفريغ والوصول إلى قيمة هذا الضغط المنخفض . وعرضت لأشعة جاما من مصدر كوبالت ٦٠ Co^{60} . وأجريت عملية التشيع لازمنة مختلفة من ٩٦ إلى ٥٧٣ ساعة ، وكان معدل الجرعة الإشعاعية هو ٢٣,٧١ ± 2.7 راد / ثانية . وبين الشكل رقم (١/٨ ، ب) هدب التداخل الضوئي المتعدد لفيزو عند الانعكاس عندما تعبر شعيرة من ألياف الدرالون المشععة بجرعة إشعاعية مقدارها ٢٢,٥٥٩ ميجاراد ، وذلك باستخدام ضوء أحادي طول الموجة ($\lambda = 1.46 \text{ نانومتر}$) (أ) مستقطباً في المستوى العمودي على محور الشعيرة (ب) في الاتجاه الموزاي لمحور الشعيرة ، ويمكن حساب معامل الانكسار المتوسط للشعيرة من المعادلة :

$$n_a = n_L + \frac{F}{2A} \frac{\lambda}{h}$$



ب

شكل رقم (٣/٨) : هدب التداخل المتعدد لفيزو عند الانعكاس عبر ألياف درالون بعد تشعيتها بأشعة γ بجرعة ٢٢،٥٥٩ ميجاراد عندما تكون الأشعة وحيدة الطول الموجي مستقطبة في مستوى وتتبذل موازية (a) وعمودية (b) على محور الشعيرة (من Hamza and Mabrouk)

كما هو موضح في الفصل السادس - حيث A هي مساحة مقطع الشعيرة ، h هي المسافة بين كل هدبتين متتاليتين في منطقة سائل الفمر ، F هي المساحة المحسوبة تحت إزاحة الهدبة عندما تعبر الشعيرة .

ويمكن ملاحظة أن هذه المساحة أكبر في الصورة (٤/٨/ب) عنها في الصورة (٤/٨/أ) ، يدل ذلك على أن قيمة n_a^{\perp} أكبر من قيمة n_a^{\parallel} عند نفس الجرعة الإشعاعية . والقيم المقاومة لهذا النوع من الألياف بعد تشعيتها هي :

$$n_a^{\parallel} = 1.5178, n_a^{\perp} = 1.5202 \text{ and } \Delta n_a = -2.4 \times 10^{-3}$$

ويبين الشكل رقم (٤/٨/أ، ب) هدب فيزو للتداخل الضوئي عند النفاذ حيث تعبر شعيرة من ألياف الدرالون مشععة بأشعة جاما وبجرعة إشعاعية مقدارها ٤٩،١٤٧ ميجاراد ، وذلك باستخدام ضوء أحادي طول الموجة ($\lambda = ٦٤٦$ نانومتر) مستقطبا في المستوى العمودي على محور الشعيرة وفي الاتجاه العمودي عليه على الترتيب . ويمكن من الشكلين

(٨/٤) ملاحظة أن المساحة F المحسورة تحت إزاحة الهدبة عندما تعبر الشعيرية تزيد بزيادة الجرعة الإشعاعية .

واقتراح "Hamza and Mabrouk" صيغ وضعيّة empirical formulae للعلاقة بين معامل الانكسار والجرعة الإشعاعية (r) وكذلك للعلاقة بين معامل الانكسار المزدوج والجرعة الإشعاعية وذلك في المدى من صفر إلى ٤٩,١٤٧ ميجاراد كالتالي :

$$n_a = n_0 \exp(ar^{1/3})$$

حيث :

$$n_0^{\parallel} = 1.5122 \quad \text{and} \quad a = 1.344 \times 10^{-5} \text{ rad}^{-1/3} \text{ for } n_a^{\parallel} \text{ and}$$

$$n_0^{\perp} = 1.5164 \text{ and } a = 9.08 \times 10^{-6} \text{ rad}^{-1/3} \text{ for } n_a^{\perp}$$

وبالنسبة لمعامل الانكسار المزدوج اقترحت المعادلة :

$$\Delta n_a = \Delta n_0 \exp(-ar^{1/2})$$

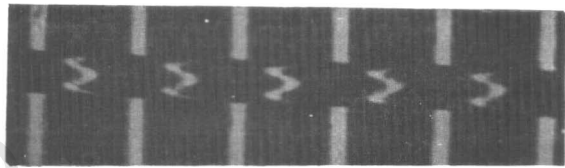
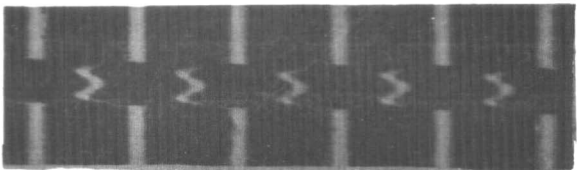
حيث :

$$\Delta n_0 = -4.2 \times 10^{-3} \text{ and } a = 1.285 \times 10^{-4} \text{ rad}^{-1/2}$$

وفي حالة ألياف الدراجون المشعمة باشعة جاما في الهواء طبقت نفس المعادلات ولكن باستخدام القيم الآتية :

$$n_0^{\parallel} = 1.5120 \text{ and } a = 2.03 \times 10^{-5} \text{ rad}^{-1/3} \text{ for } n_a^{\parallel}, \text{ and}$$

$$n_0^{\perp} = 1.5162 \text{ and } a = 1.62 \times 10^{-5} \text{ rad}^{-1/3} \text{ for } n_a^{\perp}$$



شكل رقم (٤/٤) : هدب التداخل المتعدد لفينو عند النقاد عبر شعيرة من ألياف الدراون بعد تشعيمها باشعة γ بجرعة ٤٩١ ميجاراد عندما تكون الأشعة المستخدمة وحيدة الطول الموجي مستقطبة في مستوى وتنبذب موازية (a) وعمودية (b) على محور الشعيرة (من Hamza and Mabrouk, 1988)

وطبق "Barakat et al (١٩٨٩)" هدب التداخل الضوئي لفينو عند النقاد لتعيين معاملات الانكسار(n_f^{\parallel} , n_f^{\perp}) والانكسار المزدوج لالياف الكاشميرون Cashmilone المشععة بأشعة جاما . فعند استخدام ضوء أحادي طول الموجة ($\lambda = ٦٤٦$ نانومتر) وجدت القيمة الآتية قبل التشعييع :

$$n_f^{\parallel} = 1.5118, n_f^{\perp} = 1.5145 \text{ and } \Delta n_f = -0.0026$$

واستنطروا أن الانكسار المزدوج يقل بزيادة الجرعة الإشعاعية ، وأن المنحنين بين n_f^{\parallel} وبين n_f^{\perp} يلتقيان عند جرعة إشعاعية مقدارها ١٨٥ ميجاراد . يدل ذلك على أن سلوك الألياف المشععة بتلك الجرعة يقارب سلوك الألياف متماثلة الخواص الضوئية isotropic ، وبزيادة الجرعة الإشعاعية يبعد المنحنيان عن بعضهما ولكن بإشارات مختلفة لقيمة الانكسار المزدوج ، وتكون n_f^{\parallel} اكبر من n_f^{\perp} .

References

- Barakat N, El-Hennawi H A, El-Okr M and Sharaf F 1989 *J. Phys. D: Appl. Phys.* **22** 786
- Bertolotti M, Ferrari A and Scudieri F 1979 *Radiat. Eff. Lett.* **43** 177
——— 1980a *Opt. Acta* **27** 1143
- Bertolotti M, Ferrari A, Scudieri F and Serra A 1980b *Appl. Opt.* **19** 1501
- Fribele E J, Gingerich M E and Sigel Jr G H 1978a *Appl. Lett.* **32** 619
- Fribele E J, Sigel Jr G H and Gingerich M E 1979 *Fibre optics* ed. B Bendow and S Mitra (London : Plenum) p355
- Fribele E J, Sigel Jr G H, Jaeger R E and Gingerich M E 1978b *Appl. Phys. Lett.* **32** 95
- Hamza A A, Ghander A M, Oraby A H, Mabrouk M A and Guthrie J T 1986 *J. Phys. D Appl. Phys.* **19** 2443
- Hamza A A and Mabrouk M A 1988 *Radiat. Phys. Chem.* **32** 654
- Maurer R D, Schiel E J, Kronenberg S and Lux R A 1973 *Appl. Opt.* **12** 2023
- Shah J 1975 *Bell Syst. Tech. J* **54** 1208
- Sigel Jr G H and Evans B D 1974 *Appl. Phys. Lett.* **24** 410